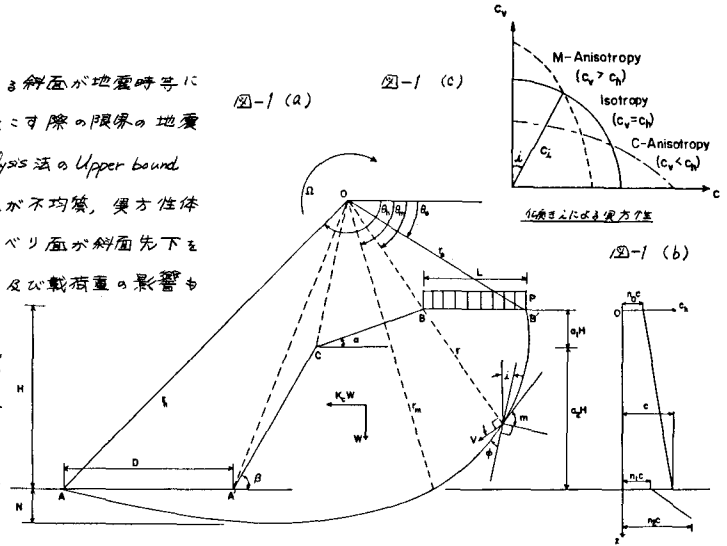


苫小牧 高孝 正 吳 澤田 知之
 北海道大学 正 吳 能町 純 雄
 Purdue 大学 W. F. Chen

1. まえがき

本論は, 前回の均質, 等方性土における斜面が地震時々により大きな慣性力を受け, 局部崩壊を起す際の限界の地震加速度係数とも言うべき K_c を Limit Analysis 法の Upper bound Technique により評価したもの⁽¹⁾に続き, 斜圧が不均質, 異方性体より成っている場合を取り上げ, 崩壊すべり面が斜面先下を通る場合も考慮に入れ, 上部斜圧面: α 及び載荷重の影響も含めて解析を行なったものと報告するものである。崩壊形式は, すべり面を対数螺旋すべり面としている。土は完全塑性体と仮定し, Coulomb の降伏条件による Mohr circle により変形するものとしている。



2. 解析概要

ここで, 不均質²⁾とは粘着力 C が深さ方向に連続的に変化するものを言い図-2にいくつかの不均質モデルを示す。又, 異方性³⁾は図-1(c)に示す様に, ある点に注目する時, そこからの方向によって粘着力が変化することをも言い, 不均質, 異方性どちらの場合も, みかけ上の内部摩擦角: ϕ は一定としている。この土における粘着力 C は, Casagrande⁽²⁾ や L_0

対数螺旋すべり面による崩壊形式

深さ方向の不均質性

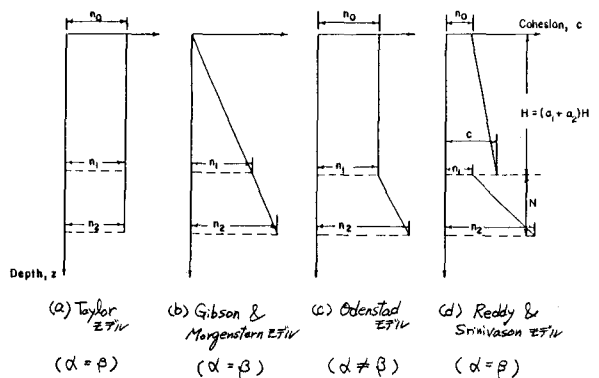


図-2 深さ方向に連続的に C が変化する不均質モデル

よれば, 例之ば図-1(c)の如くに表示され, 鉛直方向と α だけ傾く主応力の粘着力: C_2 は次式で示される。

$$C_2 = C_h + (C_v - C_h) \cos^2 \alpha \quad (1)$$

ここで

C_h : 水平方向粘着力 C_v : 垂直方向粘着力

$K_c = C_h/C_v$ は異方性係数 (Anisotropy Factor) とする。

図-1(a)における m なる角は, 崩壊すべり面と, 垂直方向と α なる角を成す α と α の接点粘着力に垂直な面と α 成す角であり, L_0 の試験結果により α とこの角は主応力の傾きとは独立であるとして置かれている。 $\theta_m, \theta_h, \theta_c, \theta$ は α なる角を満足する。

$$\sin \theta_m e^{\alpha \tan \phi} = \sin \theta_h e^{\alpha \tan \phi} \quad (2)$$

$$\theta = \theta - \frac{\pi}{2} - \phi + m \quad (3)$$

極限解析における上解法は図-1(a)の様な崩壊形式を仮定する時, その斜面の崩壊領域が行なう仕事率が, そのすべり面において生じる内部エネルギー消散率 (粘着抵抗) を越える時, 崩壊は生じるとするものである。その限界高さ: H_c の上限界は, この仕事率と内部エネルギー消散率を等しいと置いて求め得る。よってこの外力に

地震時の慣性力を考慮し、仕事率をさえることにより K_c を評価し得る。斜面の崩壊領域 $AA'CBDA$ が斜面先下崩壊として、 O を回転中心として AB に沿ってすべり時、 $\dot{W}_1 \sim \dot{W}_5$, $\dot{W}_6 \sim \dot{W}_{10}$ を各々 $OABO$, $OBBO$, $OCBO$, $OA'CO$, $OAA'O$ の各種領域の土の外力によりなされる仕事率とすると、土の自重によるもの (\dot{W})、慣性力によるもの (\dot{W}') は各々次式で表わされる。

$$\dot{W} = \dot{W}_1 - \dot{W}_2 - \dot{W}_3 - \dot{W}_4 - \dot{W}_5 = \delta \Omega \int_0^{\theta_h} f_1(\theta_0, \theta_h, D/\rho_0) \quad (4)$$

$$\dot{W}' = \dot{W}_6 - \dot{W}_7 - \dot{W}_8 - \dot{W}_9 - \dot{W}_{10} = K_a \delta \Omega \int_0^{\theta_h} f_2(\theta_0, \theta_h, D/\rho_0) \quad (5)$$

同様に、載荷重及びその慣性力による仕事率 (\dot{W}_S, \dot{W}'_S) は各々次式の様に示される。

$$\dot{W}_S = \rho_0 \Omega^2 \int_0^{\theta_m} f_3(\theta_0, \theta_h, D/\rho_0) \quad (6)$$

$$\dot{W}'_S = x K_a \rho_0 \Omega^2 \int_0^{\theta_m} f_4(\theta_0, \theta_h, D/\rho_0) \quad (7)$$

一方、すべり面 AB に沿った内部弾性エネルギー率の総和は、次式の如くである。

$$\dot{E} = \int_0^{\theta_h} (r d\theta / \cos\phi) \cdot V \cdot \cos\phi \cdot C_c$$

$$= \int_0^{\theta_m} (C_{I1})_x \rho_0 V_0 e^{2(\theta-\theta_0)\tan\phi} \cdot d\theta + \int_0^{\theta_h} (C_{I2})_x \rho_0 V_0 e^{2(\theta-\theta_0)\tan\phi} \cdot d\theta$$

$$= C \rho_0^2 \Omega \cdot Q(\theta_0, \theta_h, \theta_m, K_c) \quad (8)$$

よって (4)~(8) より、 $K_a = F(\theta_0, \theta_h, D/\rho_0)$ (9) と表わし得る。

ここで (10), (11), (12) を解くことにより $\theta_0, \theta_h, D/\rho_0$ の最適値を得 (9) より、最小の限界地震加速度係数 K_c を知り得る。

$$\frac{\partial K_a}{\partial \theta_0} = 0 \quad (10) \quad \frac{\partial K_a}{\partial \theta_h} = 0 \quad (11) \quad \frac{\partial K_a}{\partial D/\rho_0} = 0 \quad (12)$$

3. 数値計算例及び考察

図-3 は $K=1$ の時の $\alpha=0, 10, 20$ における K_c と N_s (安定係数) の関係を示したもので、すべり面が斜面先下を通る崩壊が支配的であることを示している。表-1 は、斜面角 (β) が各々

90°, 70°, 50° の時の実方性係数の変化による、従来の円弧すべりと α 時の Limit Equilibrium 法と本解析法には、限界値 K_c を比較したもので、比較的一致していると言え、誤差は、円弧法と対数螺旋線と各々すべり面の仮定が異なることか原因と考えられる。表-2 は、Odenstad モデルによる $\alpha=20^\circ$ とした時の載荷重の影響を示したもので、載荷重、さらにその慣性力を考慮した方が K_c は小さな値をとり、不安定に陥ると言え妥当な傾向に言える。

※ 参考文献

- (1) "Limit analysis 法による地震時の慣性力を考慮した斜面" 深野 昭夫 第37回年度学術講演会概論集 III-135
- (2) "Shear failure of anisotropic soils": Casagrande in Boston Soc. Civ. Eng. Contrib. Soil Mech. 1941~1953 pp.122~145
- (3) "Stability of slopes in anisotropic soils": Lo, K.Y. A.S.C.E. J. Soil Mech. Found. Div. 91(SM4), pp. 85~106 1974
- (4) "Limit Analysis and Soil plasticity": Chan, W.F. Elsevier, S.P. Co.

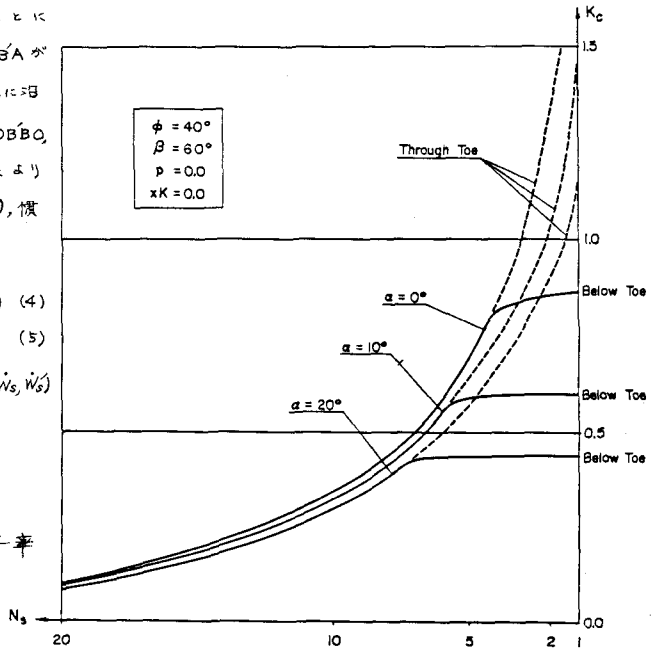


図-3 K_c と N_s の関係

Slope Angle (Degree) β	Anisotropy Factor k	Curved Failure Surface		
		Limit #1 Equilibrium ϕ Circle*	Limit #2 Analysis' ratio of Log Spiral	ratio of 1 / 2
90	1.0	95.75	110.57	0.870
	0.9	--	--	--
	0.8	--	--	--
	0.7	--	--	--
	0.6	--	--	--
70	1.0	119.75	136.62	0.877
	0.9	118.00	132.36	0.892
	0.8	116.25	128.14	0.907
	0.7	114.50	123.89	0.924
	0.6	112.25	119.12	0.942
50	1.0	142.00	142.00	1.000
	0.9	138.50	137.50	1.007
	0.8	133.75	129.40	1.034
	0.7	129.75	125.50	1.054
	0.6	127.25	120.75	1.054
	0.5	121.25	116.50	1.041

表-1 実方性係数の変化に於ける K_c の比較 (Taylor モデル)

Anisotropy factor k	$p=0$	$p=0.06$	$p=0.06$
	$x=0$	$x=0 \quad \frac{K_a}{K_c}$	$x=0.5 \quad \frac{K_a}{K_c}$
1.0	0.477	0.455	0.450
0.9	0.457	0.436	0.431
0.8	0.437	0.417	0.413
0.7	0.416	0.399	0.394
0.6	0.396	0.380	0.376
0.5	0.377	0.361	0.357

表-2

Odenstad Model

